

مقاله پژوهشی

تأثیر حمام اولتراسونیک، نسبت سورفاکtant به روغن و غلظت موسیلاز دانه به بر ویژگی‌های نانومولسیون خودبه‌خودی

رضا قادرمざی^{*}، اصغر خسروشاهی اصل^۲، محمدحسین عزیزی^۳، فردین تمجیدی^۴

۱. دانشجوی دکتری، علوم و صنایع غذایی، گروه علوم و صنایع غذایی، دانشکده کشاورزی، دانشگاه ارومیه
۲. استاد، گروه علوم و صنایع غذایی، دانشکده کشاورزی، دانشگاه ارومیه
۳. استاد، گروه علوم و صنایع غذایی، دانشکده کشاورزی، دانشگاه تربیت مدرس
۴. استادیار، گروه علوم و مهندسی صنایع غذایی، دانشکده کشاورزی، دانشگاه کردستان

(تاریخ دریافت: ۹۷/۱۱/۱، تاریخ آخرین بازنگری: ۹۸/۱/۱۲، تاریخ پذیرش: ۹۸/۴/۲۵)

چکیده

هدف از این مطالعه بررسی ویژگی‌های نانومولسیون روغن در آب ثبت شده با مخلوط ایزوله پروتئین آب پنیری در غلظت $w/v = 1/1$ و موسیلاز دانه به در غلظت $w/v = 0.05\%$ و $w/v = 0.1\%$ به روش کم انرژی خودبه‌خودی و پر انرژی هموژنایزر فراصوت است. از آنجا که مشکل اصلی روش امولسیون‌سازی خودبه‌خودی استفاده از مقادیر بالای سورفاکtant‌های سنتزی است، بنابراین یکی از اهداف این تحقیق بررسی تأثیر نسبت‌های مختلف سورفاکtant به روغن در سه نسبت $1:1$ ، $2:1$ و $3:2$ SOR و تیمار کمکی حمام اولتراسونیک روی ویژگی‌های نانومولسیون خودبه‌خودی بود. پارامترهای اندازه ذرات، پتانسیل زتا، ویسکوزیته ظاهری و پایداری نانومولسیون مورد بررسی قرار گرفت. در این مطالعه امولسیون‌های با قطر ذرات کمتر از 200 nm به خوبی تهیه شدند. افزایش غلظت موسیلاز و نسبت سورفاکtant به روغن باعث کاهش معنی دار اندازه ذرات، افزایش اندک پتانسیل زتا یعنی با افزایش نگاتیویتی، افزایش ویسکوزیته، کاهش اندیس خامه‌ای شدن و افزایش شاخص پایداری امولسیون‌ها شد. نمونه‌های حاصل از روش پر انرژی و نمونه‌های که با حمام اولتراسونیک تیمار شده‌اند دارای کمترین اندازه ذرات و مقدار شاخص خامه‌ای شدن و بیشترین شاخص پایداری امولسیون بودند. نتایج این تحقیق نشان داد که می‌توان با یک تیمار ساده توسط حمام اولتراسونیک می‌توان نانومولسیون خودبه‌خودی با ذرات بسیار کوچک در ابعاد نانومتر بدون نیاز به غلظت‌های بالای سورفاکtant‌های سنتزی را تهیه کرد.

واژه‌های کلیدی: نانومولسیون خودبه‌خودی، حمام اولتراسونیک، موسیلاز دانه به، ایزوله پروتئین آب پنیر.

۱. مقدمه

استفاده از روش‌های کم انرژی در تشکیل امولسیون به دلیل داشتن فوایدی مثل سادگی، در دسترس بودن، هزینه پایین، عدم نیاز به تجهیزات خاص و گران‌قیمت مورد توجه قرار گرفته است؛ اما با این حال هنوز در مقیاس صنعتی تحقیقات چندانی صورت نگرفته است و نیازمند تحقیقات بیشتر است [۶، ۱۳].

روش‌های کم انرژی را می‌تواند به دو دسته روش‌های حرارتی و ایزوترمال هم‌دما طبقه‌بندی کرد. در روش‌های حرارتی تشکیل امولسیون به دلیل تغییرات در خواص سورفاکtant با تغییر دما است که ساختار سیستم ثابت است، درحالی‌که روش‌های ایزوترمال تشکیل امولسیون به دلیل تغییرات در محل ترکیبات داخل سیستم در دمای ثابت است که در واقع تغییر ساختار سیستم است [۶]. امولسیون‌سازی غشایی، خودبه‌خودی، جانشین‌سازی حلال، معکوس شدن امولسیون و معکوس شدن فاز از جمله روش‌های مرسوم برای تولید نانوامولسیون‌ها با انرژی پایین هستند. روش‌های خودبه‌خودی و معکوس شدن فاز جزو دسته روش‌های ایزوترمال هستند [۱۴]، درحالی‌که معکوس شدن فاز با درجه حرارت یک روش حرارتی است [۱۵]. هرچند روش کم انرژی دارای مزیت‌های فراوانی است ولی نیاز به مقدار زیاد سورفاکtant و لزوم انتخاب دقیق سورفاکtant و کوسورفاکtant محدودیت‌هایی را در استفاده از این روش ایجاد کرده‌اند که شاید بتوان به کمک یک سری تیمارها مقدار سورفاکtant مصرفی را کاهش داد.

روش تولید نانوامولسیون خودبه‌خودی از طریق تیتراسیون یک فاز آلی حاوی یک محلول هموژن از روغن و سورفاکtant هیدرووفیل به فاز آبی است [۱]. زمانی که دو فاز در مجاورت هم قرار می‌گیرند، سورفاکtant که در هر دو فاز قابل امتصاج است، به تدریج از فازی که در آن حضور داشت به فاز دیگر مهاجرت می‌کند. با مهاجرت این ترکیب، مساحت بین سطحی افزایش می‌یابد، آشفتگی بین سطحی ایجاد می‌شود و در نهایت امولسیون تشکیل می‌شود. می‌توان با تغییر دادن شرایط هم زدن و نوع فازهایی که برای تولید امولسیون از آن‌ها استفاده شده است، اندازه قطره‌ها را کنترل نمود [۱۶]. علاوه بر آشفتگی بین سطحی سایر مکانیسم‌ها مانند انتشار مواد موجود در محلول بین دو فاز، گرادیان کشش سطحی، مکانیسم پراکندگی و مکانیسم کندانس شدن ممکن است در تشکیل نانوامولسیون خودبه‌خودی شرکت کنند [۱۷]. نوع سورفاکtant و روغن مورداستفاده برای تشکیل

نانوامولسیون‌ها دسته‌ای از امولسیون‌ها هستند با قطر ذرات ۲۰ تا ۲۰۰ nm که در مقایسه با امولسیون‌های معمولی دارای مزایای بالقوه‌ای برای کاربردهای خاص در مواد غذایی و نوشیدنی هستند [۱]. نانوامولسیون‌ها به‌طور معمول ثبات بهتری در مقابل تجمع ذرات و جداسازی گرانشی دارند [۲]. از آنجا که ذرات موجود در نانوامولسیون‌ها بسیار کوچک هستند، امواج نور را به مقدار کمی پراکنده می‌کنند، بنابراین برای محصولاتی که نیاز به ظاهری روشن یا کدورت پایین دارند مانند نوشیدنی‌های بدون الکل و آب، برخی سوب‌ها، سس‌ها و کره مناسب هستند [۳، ۴]. نانوامولسیون‌ها دارای نسبت سطح به حجم بزرگ‌تری نسبت به امولسیون‌های معمولی دارند، بنابراین پدیده‌های مربوط به تغییر شکل قطره‌ها، مانند فشار لاپلاس و مدول الاستیک، به‌طور معمول برای نانوامولسیون‌ها از امولسیون‌های معمولی بیشتر است [۵]. نانوامولسیون‌ها را می‌توان با استفاده از هر دو روش پر انرژی و کم انرژی تهییه کرد. در روش پر انرژی از تجهیزات تخصصی مانند هموژنایزرهای آسیاب‌های کلوبی، همگن‌سازهای با سرعت یا فشار بالا و همگن‌سازهای فراصوت استفاده می‌کنند که به‌وسیله تولید نیروهای شدید مکانیکی باعث ریزتر شدن ذرات و ترکیب شدن روغن و آب می‌شوند [۸-۶]. روش پر انرژی، به دلیل کنترل توزیع اندازه قطرات امولسیون و قابلیت تولید امولسیون‌هایی مناسب و با تنوع زیاد، قابلیت کاربرد صنعتی بیشتری در صنایع غذایی دارد [۷]. متغیرهای اصلی که ویژگی‌های نانوامولسیون را با استفاده از روش پر انرژی تحت تأثیر قرار می‌دهند، عبارت‌اند از شدت انرژی و مدت زمان، نوع و غلظت سورفاکtant و خواص فیزیکی و شیمیایی فازهای روغن و آب استفاده شده [۹]. البته باید به این نکته نیز توجه کرد که استفاده از حمام التراسوند نسبت به پروب اولتراسونیک دارای شدت انرژی کمتری است و بنابراین اندازه ذرات حاصله از آن نیز بزرگ‌تر است ولی این مزیت را دارد که می‌تواند برای مقیاس‌های بالاتر مورد استفاده قرار گیرد [۱۰]. اگرچه امواج فراصوت یک تکنیک مفید برای کمک به پراکندگی و تثبیت نانوپیال‌ها هست، اما اثر نوع سیستم اولتراسوند (پروب یا حمام) بر روی مکانیسم سنتز نانوپیال به اثبات نرسیده است [۱۱]. در مقابل روش‌های پر انرژی، روش‌های کم انرژی مبتنی بر تشکیل خودبه‌خود امولسیون بر اساس رفتار فازی برخی از سورفاکtant‌ها، روغن و آب هستند [۱۲]. به تازگی

نسبت به کاهش pH، وجود یون‌ها و دمای بالا مانع فلوكولاسیون می‌شود. آن‌ها دلیل این تفاوت را به مکانیسم پایدارکنندگی این امولسیفایرها نسبت داده‌اند که صفحه از طریق ممانعت فضایی و پروتئین از طریق دافعه الکترواستاتیکی این کار را انجام می‌دهند [۲۱]. شمسارا و همکاران در بررسی اثر فرایند اولتراسونیک، تیمار حرارتی و نسبت‌های مختلف صفحه زردآلو/الکتوگلوبولین بر پایداری امولسیون گزارش کردند که تیمار اولتراسونیک به شکل معنی‌داری باعث افزایش پایداری امولسیون می‌شود، همچنین آن‌ها بهترین شرایط دمایی و pH برای پایداری امولسیون را به ترتیب در ۵۰ و ۳۰°C گزارش کردند [۲۲]. کالتسا و همکاران در بررسی اثر صفحه‌های زانتن، گوار و لوپیای خربوب گزارش کردند که در غلظت‌های پایین صفحه به علت پدیده فلوكولاسیون امولسیون ناپایدار می‌شود [۲۳].

با وجود تحقیقات صورت گرفته، تاکنون مطالعه‌ای در زمینه اثر همزمان موسیلاژ دانه به و ایزوله پروتئین آب پنیر در پایداری امولسیون‌های روغن در آب انجام نشده است؛ بنابراین هدف از این مطالعه استفاده از دو بیوپلیمر ایزوله پروتئین آب پنیر و موسیلاژ دانه به در ساخت نانومولسیون به روش‌های کم انرژی خودبهخودی، پرانرژی هموژنايزر فراصوت و ترکیب روش خودبهخودی با حمام اولتراسونیک می‌باشد.

۲. مواد و روش‌ها

۲.۱. مواد

دانه به از یک سوپرمارکت محلی در استان آذربایجان غربی شهرستان ارومیه خریداری شد. ایزوله پروتئین آب پنیر با بیش از ۹۰٪ پروتئین از شرکت آرلای دانمارک تهیه شد. روغن میگلیول ۸۱۲ از شرکت داروسازی زهراوی تبریز تهیه شد. اسید هیدروکلریک و سدیم هیدروکسید از شرکت مرک آلمان تهیه شد. سدیم آرید از شرکت کوالیکم هند خریداری شد. تمامی مواد دارای درجه آزمایشگاهی بودند. در تمامی آزمایش‌ها از آب دیونیزه برای تهیه نمونه‌ها استفاده شد.

۲.۲. استخراج موسیلاژ دانه به

استخراج موسیلاژ از دانه به طبق روش عباس‌تبار و همکاران [۲۴] همراه با کمی تغییر انجام شد. یک گرم از دانه‌های تمیز و فاقد پالپ به ۱۰۰ g آب دیونیزه اضافه و دو ساعت در دمای ۶۰°C

نانومولسیون خودبهخودی اهمیت فراوانی دارند. سورفاکtant باید توانایی حرکت از فاز روغنی به فاز آبی هنگامی که این دو در تماس هستند را داشته باشد [۶]. در تحقیقات مختلف سورفاکtant غیر یونی تبیین ۸۰ به عنوان بهترین سورفاکtant برای تشکیل نانومولسیون خودبهخودی معرفی شده است به نحوی که با کمترین غلظت نسبت به سایر سورفاکtantها مانند تبیین ۲۰ و ۶۰ قادر به تولید ذرات ریزتری است بنابراین در این تحقیق تبیین ۸۰ انتخاب شد. نوع روغن مورداستفاده در فاز آبی نیز تأثیر مستقیمی در اندازه ذرات امولسیون نهایی دارد. روغن میگلیول ۸۱۲ در ساخت نانومولسیون خودبهخودی نسبت به روغن‌های معطر مانند روغن معطر لیمو و پرتقال و انواع بلند زنجیر مانند روغن سویا و آفتابگردان توانایی بیشتری در تولید ذرات با ابعاد ریزتر را دارد. این امر ممکن است به دلیل ویژگی‌های این روغن مانند ویسکوزیته، چگالی یا کشش بین سطحی خاص آن باشد که به تشکیل خودبهخودی قطرات روغن در مرز فاز آبی / فاز آبی منجر می‌شود [۱]. روغن میگلیول ۸۱۲ مایعی بی‌رنگ مایل به زرد روشن و متوسط‌زنجیر است که از روغن نارگیل استخراج می‌شود. در طی نگهداری تجزیه نمی‌شود و هیچ واکنش خطرناکی هم برای آن معرفی نشده است [۱۷] بنابراین برای مصرف در صنایع غذایی بی‌خطر است.

به با نام علمی *Cydonia oblonga*، بیشتر در خاورمیانه و در ایران نیز در مناطق شمال غربی کاشته می‌شود. روی دانه‌های به پوشیده از یک ماده موسیلاژی است که پس از مجاورت با آب از سلول‌های اپیدرم پوششی دانه به راحتی استخراج می‌شود و یک محلول لزج و بی‌مزه را می‌سازد [۱۸]. موسیلاژ دانه به توانایی تشکیل توده‌های پیچیده یا همان کمپلکس کواسرواسیون از طریق واکنش‌های الکترواستاتیکی در pH کمتر از نقطه ایزوکلریک پروتئین را نیز دارد [۱۹] که می‌تواند در انکپسولاسیون ترکیبات غذا-دارو به کار رود. ایزوله پروتئین آب پنیر به دلیل خواص منحصر به فرد زلهای شدن، امولسیفایری، کف کنندگی و پایدارکنندگی یکی از مهم‌ترین پروتئین‌های مورداستفاده در بسیاری از فرمولاسیون‌های غذایی مانند محصولات لبنی، گوشتی و نانوایی است [۲۰]. اوزتورک و همکاران گزارش کردند که نانومولسیون پایدار شده توسط ایزوله پروتئین آب پنیر نسبت به صفحه عربی دارای اندازه ذرات کوچکتری هست ولی نانومولسیون پایدار شده توسط صفحه عربی

۴.۲ آماده‌سازی نانومولسیون‌ها

نانومولسیون روغن در آب به روش خودبه‌خودی مطابق روش مک‌لمنت و همکاران [۲۵] با کمی تغییر تهیه شد. برای تهیه فاز آبی، مقدار برابری از محلول (w/v) ۱٪ WPI با دو غلظت مختلف ۰/۱ و ۰/۰۵ (w/v) از محلول QSM کاملاً مخلوط شد. برای تهیه فاز آلی، روغن میگلیول با توبین ۸۰٪ که نسبت سورفاکtant به روغن (SOR): ۱:۱، ۲:۳ و ۱:۲ بود توسط همزن مغناطیسی به مدت ۶۰ min در دمای محیط کاملاً مخلوط شد. در نهایت برای تهیه نانومولسیون خودبه‌خودی، ۱۰ g از فاز آلی به‌آرامی و قطره قطره به ۹۰ g فاز آبی در حین همزدن مداوم با دور ۷۰۰ rpm در دمای محیط اضافه شد. کل زمان افزودن فاز آلی و زمان اضافه برای همزدن حدود ۳۰ min بود (نمونه‌های ۲، ۳، ۴، ۵، ۶ و ۷ در جدول ۱). امولسیون‌های به دست آمده تا زمان استفاده برای انجام آزمایش‌ها در شیشه‌های تیره‌رنگ داخل یخچال با دمای ۴°C نگهداری شدند. یک نمونه بدون QSM نیز به عنوان شاهد تهیه گردید (نمونه ۱).

برای بررسی تأثیر امواج اولتراسونیک بعد از تهیه نانومولسیون خودبه‌خودی، نمونه‌ها به مدت ۳۰ min دقیقه داخل حمام

توسط همزن مغناطیسی مخلوط شدند. برای اطمینان از استخراج کامل موسیلаз از دانه‌ها، مخلوط به مدت ۱۲ h در دمای ۲۸±۲°C نگهداری شد. برای صاف کردن و جداسازی دانه‌ها از پارچه کتان تمیز استفاده شد. در نهایت موسیلاز در دمای ۵۰°C توسط آون مجهر به سیرکولاوتور هوا بعد از ۲۴ h خشک شد. موسیلاز حاصل توسط هاون دستی کاملاً پودر شده و تا زمان استفاده در کیسه‌های پلاستیکی برای جلوگیری از تبادل هوا با بیرون و جذب رطوبت نگهداری شدند.

۳.۲ آماده‌سازی محلول‌های استوک موسیلاز دانه به (WPI) و ایزوله پروتئین آب پنیر (QSM)

محلول‌های (w/v) ۱٪ پلیمرهای WPI و QSM هرکدام به صورت جداگانه آماده شدند. مخلوط‌ها ۲ h در دمای اتاق هم زده و به منظور آبگیری کامل پلیمرها، محلول‌ها به مدت ۲۴ h در دمای ۴°C نگهداری شدند. به هر کدام از محلول‌ها ۰/۰۲٪ سدیم آرید به عنوان عامل جلوگیری کننده از رشد میکروب‌ها اضافه شد. در صورت نیاز برای تنظیم pH=۷ از HCl و ۰/۱ M NaOH استفاده شد.

جدول (۱) فرمولاسیون نانومولسیون‌های مختلف.

Table (1) Formulation of different nanoemulsions.

نمونه Sample	ایزوله پروتئین آب پنیر %WPI	موسیلاز دانه به %QSM	تویین Tween 80 (g)	نسبت سورفاکtant به روغن SOR	حمام اولتراسونیک Bath- sonicator	هموژنایزر فراصوت Ultrasound homogenizer
۱ (شاهد) (Control)	۱	۰	۵	۱:۱	-	-
۲	۱	۰.۱	۵	۱:۱	-	-
۳	۱	۰.۱	۶	۳:۲	-	-
۴	۱	۰.۱	۶.۶۷	۲:۱	-	-
۵	۱	۰.۵	۵	۱:۱	-	-
۶	۱	۰.۵	۶	۳:۲	-	-
۷	۱	۰.۵	۶.۶۷	۲:۱	-	-
۸	۱	۰.۵	۵	۱:۱	✓	-
۹	۱	۰.۵	۶.۶۷	۲:۱	✓	-
۱۰	۱	۰.۵	۵	۱:۱	-	✓
۱۱	۱	۰.۵	۶.۶۷	۲:۱	-	✓

* سورفاکtant در ۱۰ g فاز آلی (فاز آلی = روغن + سورفاکtant)

* g of surfactant in 10g of organic phase (organic phase= surfactant + oil)

۷.۲. بررسی پایداری نانومولسیون‌ها

۷.۲.۱. سنجش میزان خامه‌ای شدن نانومولسیون‌ها
پایداری نمونه‌های امولسیون از طریق مشاهده ظاهری آن‌ها اندازه‌گیری شد، بدین ترتیب پس از آماده‌سازی، نمونه‌های داراً داخل لوله آزمایش ریخته شده و پس از بستن درب آن‌ها در دمای 5°C به مدت یک ماه نگهداری شدند. تعیین شاخص خامه‌ای شدن نمونه‌ها در حضور پروتئین سرمی بر اساس فاز سرمی جداسده بر اساس رابطه (۱) محاسبه شد.

$$\text{CI} = \frac{\text{HS}}{\text{HE}} \times 100 \quad (1)$$

در این فرمول CI اندیس خامه‌ای شدن، HS ارتفاع سرم و HE ارتفاع کل امولسیون است.

۷.۲.۲. اندازه‌گیری خاصیت امولسیون کنندگی نانومولسیون‌ها
برای این منظور، بلافاصله پس از تهیه نانومولسیون، 10 mL از نمونه‌ها با دور 2555 g به مدت 5 min و دمای 25°C سانتریفیوژ گردیدند سپس بر اساس حجم فازهای جداسده، شاخص خاصیت امولسیون کنندگی با استفاده از معادله (۲) اندازه‌گیری شد.

$$\text{ESI} = \frac{\text{Vf}}{\text{Vi}} \times 100 \quad (2)$$

در اینجا ESI شاخص خاصیت امولسیون کنندگی Vf حجم فاز بالایی امولسیون بعد از سانتریفیوژ و Vi حجم اولیه امولسیون است.

۸.۲. روش‌های تجزیه و تحلیل آماری

آزمون‌های بر اساس طرح کاملاً تصادفی با ۲ و ۳ تکرار انجام پذیرفت. برای تحلیل داده‌ها از آزمون مقایسه‌ی دانکن در سطح احتمال ۹۵٪ استفاده شد. محاسبات با استفاده از نرم‌افزار آماری SPSS ۲۵ انجام شد و نمودارها توسط نرم‌افزار اکسل ۲۰۱۳ رسم شد. نتایج به صورت میانگین داده‌ها[±]انحراف استاندارد آن‌ها گزارش شدند. آزمایشات دارای ۱۱ تیمار مختلف بودند. اثر غلظت در دو سطح، اثر سورفاکtant در سه سطح و اثر تیمارهای حمام و پروب اولتراسونیک نیز در دو سطح مختلف سورفاکtant مورد بررسی قرار گرفت.

اولتراسونیک با دمای 30°C قرار گرفتند (نمونه‌های ۸ و ۹). همچنین برای مشاهده تأثیر هموژنایزر فراصوت ابتدا فاز آلی و فاز آبی با استفاده از همزن مغناطیسی به مدت 10 min ۱۰ دقیقه مخلوط شدند، سپس برای ریزتر شدن اندازه ذرات این امولسیون اولیه از هموژنایزر فراصوت Misonix sonicator مدل ۴۰۰۰ ساخت آمریکا، دمای 30°C ، زمان 10 min استفاده شد. هموژنایزر فراصوت دارای پروب با ضخامت 19 mm از نوع High gain horns، توان اسمی 600 W و بسامد 26 KHz بود. از آنجائی که در طی اعمال امواج فراصوت دمای مخلوط به دلیل تولید انرژی افزایش می‌یابد لذا بهمنظور کنترل و ثبت دمای مخلوط از مخلوط آب و یخ استفاده شد (نمونه‌های ۱۰ و ۱۱). در نهایت pH تمام تیمارها با استفاده از هیدروکسید سدیم و اسید کلریدریک 0.1 M در pH برابر ۷ تنظیم شد. همچنین نمونه‌های امولسیون قبل از آنالیز به مدت ۱۲ ساعت در دمای $4-7^{\circ}\text{C}$ نگهداری شدند.

۵.۲. آنالیز اندازه ذرات و پتانسیل زتای نانومولسیون

برای تعیین اندازه ذرات (Z-Average)، شاخص توزیع اندازه ذرات (PDI) و بار الکتریکی سطحی ذرات در مقابل pH که به پتانسیل زتا (ζ) موسوم است از دستگاه زتابایزر مدل ZS، Nano ZS شرکت مالورن انگلستان استفاده شد. اندازه‌گیری‌ها یک روز بعد از تولید نمونه‌ها انجام شد. نتیجه آزمون در دمای 25°C به دست آمد. قبل از انجام این آزمایش، دیسپرسیون‌ها توسط آب دیونیزه تا نسبت $1:100$ رقیق شدند.

۶.۲. اندازه‌گیری ویسکوزیته ظاهری

ویسکوزیته ظاهری نمونه‌ها توسط ویسکومتر چرخشی Brookfield- NDJ4 ساخت کشور چین در دمای محیط توسط پروب شماره ۱ با سرعت دورانی 60 rpm اندازه‌گیری شد. برای این کار 40 mL نمونه داخل ظرف مخصوص دستگاه ریخته شد و پروب به آرامی به‌طوری که با بدنه و کف برخورد نکند داخل نمونه غوطه‌ور شد. مقدار ویسکوزیته بعد از گذشت مدت زمانی حدود 30 s از چرخش پروب تا رسیدن به حالتی که عقبه روی یک عدد ثابت قرار بگیرد قرائت شد. مقدار ویسکوزیته بر حسب mPa.s گزارش شد.

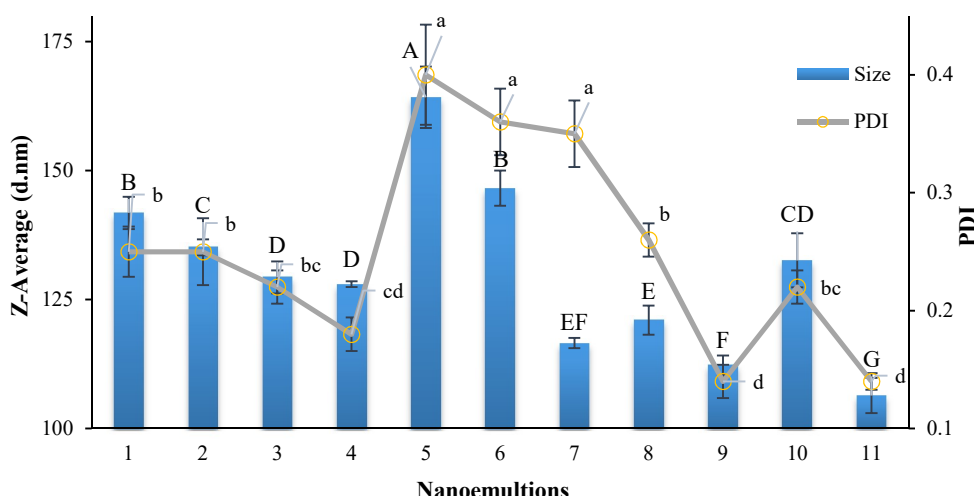
۳. نتایج و بحث

همچنین افزایش غلظت سورفاکtant موجب می‌شود تا تعداد مولکول‌های بیشتری از سورفاکtant از فاز روغنی به فاز آبی، مهاجرت کنند و تولید قطرات ریز امولسیون آسان‌تر گردد [۱، ۱۴]. کومایکو و مک‌کلمنت گزارش کردند که نانوامولسیون خودبه‌خودی توسط سورفاکtant توبیین ۸۰ و روغن میگلیول به خوبی قابل ساخت است و با افزایش SOR اندازه ذرات کاهش می‌یابد. البته اگر غلظت سورفاکtant بیش‌از‌حد بالا باشد ممکن است اندازه ذرات افزایش یابد، این پدیده به دلیل تشکیل بلورهای مایعی مقاوم به تخریبی است که باعث کاهش امولسیون‌سازی خودبه‌خودی می‌شوند [۶]. البته در این تحقیق ما شاهد چنین اتفاقی نبودیم یعنی در غلظت‌های که مورد مطالعه قرار گرفتند افزایش اندازه ذرات با افزایش سورفاکtant مشاهده نشد. مؤیدزاده و همکاران گزارش کردند که با افزایش SOR در یک غلظت ثابت صفحه‌زان اندازه ذرات کاهش می‌یابد [۱۳].

شکل (۲) نتایج بدست‌آمده برای پتانسیل زتا نمونه‌های مختلف نانوامولسیون را نشان می‌دهد. با افزایش غلظت سورفاکtant تغییرات پتانسیل زتا چندان مشهود نبود. به طوری که در غلظت ۱٪ موسیلاژ، پتانسیل زتا با افزایش غلظت سورفاکtant تغییری نشان نداد ($p>0.05$) (نمونه‌ها ۲، ۳ و ۴). ولی در غلظت ۵٪ موسیلاژ با افزایش غلظت سورفاکtant، میزان پتانسیل زتا به میزان بسیار اندکی افزایش یافت، ولی این

۱.۳. اثر غلظت سورفاکtant (SOR%) بر اندازه ذرات، توزیع اندازه ذرات (PDI) و پتانسیل زتا

برای بررسی تأثیر غلظت سورفاکtant بر اندازه، PDI و پتانسیل زتا ذرات، سه نسبت مختلف از سورفاکtant توبیین ۸۰ به روغن میگلیول (۱:۱، ۲:۱ و ۳:۲ = SOR) مورد بررسی قرار گرفت (شکل ۱). به طور کلی با افزایش درصد SOR پارامترهای اندازه ذرات و PDI به شکل معنی‌داری ($p<0.05$) کاهش یافت. البته در تمامی نمونه‌ها اندازه ذرات کمتر از ۲۰۰ nm بود. نتایج پراکندگی نور نشان داد که نانوامولسیون‌هایی که دارای SOR بالای هستند توزیع اندازه ذرات باریکی دارند. پدیده‌های فیزیکی و شیمیایی مختلفی ممکن است در کاهش اندازه ذرات با افزایش غلظت سورفاکtant دخیل باشند. سورفاکtant‌ها به سطح قطرات روغن جذب می‌شوند و به عنوان یک پوشش محافظه تجمع قطرات را مهار می‌کند [۲۶]. در واقع وقتی غلظت سورفاکtant پایین باشد میزان ترکیب فعال سطحی مورد نیاز نیاز به پوشش دهی قطرات مهیا نبوده و بنابراین در اثر تجمع قطرات روغن، امولسیون با قطرات بزرگ‌تر از مقیاس نانو ایجاد خواهد شد [۲۷]. دلیل دیگر کاهش اندازه قطرات با افزایش غلظت سورفاکtant را می‌توان به خاطر کاهش بیشتر کشش سطحی در مرز مشترک روغن با آب درنتیجه تعداد بالای مولکول‌های سورفاکtant در سطح بیان نمود.

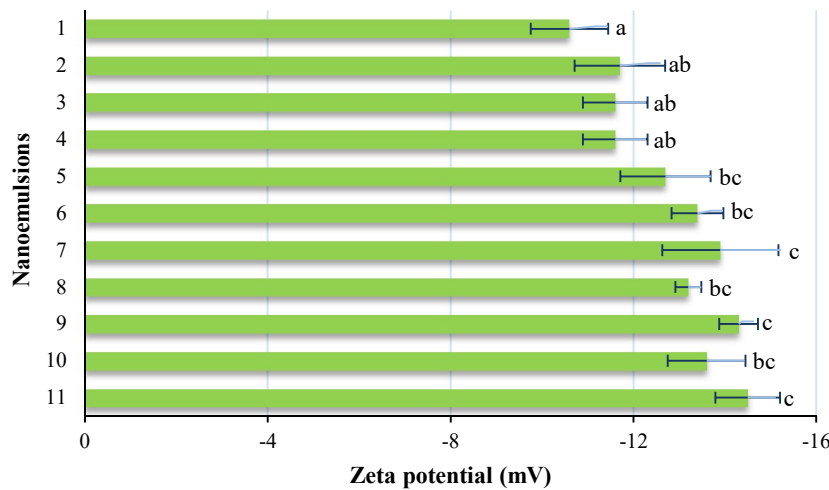


شکل (۱) اندازه ذرات (Z-Average, nm) و توزیع اندازه ذرات (PDI) نانوامولسیون‌ها

حروف متفاوت نشان‌دهنده وجود اختلاف معنی‌دار در سطح $p<0.05$ است (حروف بزرگ و کوچک به ترتیب مربوط به اندازه ذرات و PDI هستند)

Fig. 1. particle size (Z-Average, nm) and poly dispersity index (PDI) of nanoemulsions

Different superscript letters among bars denote significant difference ($p<0.05$) (big and small letters related to the size and PDI, respectively).



شکل (۲) پروفایل پتانسیل زتا در نانومولسیون‌ها در شرایط خنثی

حروف متفاوت نشان‌دهنده وجود اختلاف معنی‌دار در سطح $p < 0.05$ است**Fig. 2.** Zeta potential profiles of the nanoemulsions at neutral conditions
Different superscript letters among bars denote significant difference ($p < 0.05$)

ناسازگاری ترمودینامیکی بین این دو ترکیب است. همچنین گزارش شده است که پلی‌ساقاریدها از طریق نفوذ به فضای بین قطرات روغن با ایجاد ممانعت فضایی بر نیروی جاذبه وان-در-والس غلبه می‌کنند و مانع تجمع ذرات می‌شوند [۱۳، ۲۹]. البته با افزایش بیشتر موسیلاژ تا ۰/۵٪ (به جر نمونه ۷) در همان غلظت سورفاکtant (۱:۱) اندازه ذرات افزایش معنی‌داری پیدا کرد به‌طوری‌که نمونه ۵ در بین تمام نمونه‌ها داری بزرگ‌ترین اندازه ذرات بود. زو و همکاران بیان کردند که افزایش نسبت پکتین در مخلوط ایزوله پروتئین سوبیا-پکتین چندر باعث افزایش اندازه ذرات امولسیون حاصل از آن شد و دلیل آن را به حضور پکتین جذب نشده در سطح ذرات روغن نسبت دادند که باعث تجمع نقصانی شده و اندازه ذرات را افزایش می‌دهد [۳۰]. نکته‌ای که در اینجا قابل توجه است این است که با افزایش غلظت سورفاکtant برای غلظت‌های بالای موسیلاژ (نمونه ۷) اندازه ذرات به مقدار بسیار زیادی کاهش یافت که دلیل این امر احتمالاً مقدار بالای سورفاکtant در این نمونه است که از طریق ممانعت فضایی بین زنجیره‌های پلیمرها مانع اتصال آن‌ها و در نتیجه مانع افزایش اندازه ذرات می‌شود. مؤیدزاده و همکاران نیز گزارش کردند که با افزایش غلظت صمغ ژلان اندازه ذرات کاهش می‌یابد که این نشان دهنده توانایی این صمغ در جلوگیری از انعقاد و بهم آمیختگی ذرات امولسیون هست [۱۳]. وانگ و همکاران در بررسی اثر صمغ بذر کتان بر خصوصیات امولسیون تهیه شده

افزایش به لحاظ آماری معنی‌دار نبود ($p > 0.05$) (نمونه‌های ۵ تا ۷). توجه شود که منظور از افزایش پتانسیل زتا در تمام متن منفی تر شدن مقدار آن است. در بین تیمارها نمونه شاهد (۱) که فاقد موسیلاژ بود کمترین پتانسیل زتا را داشت؛ بنابراین تغییر SOR در مقادیر به‌کار رفته در این تحقیق تأثیر چندانی در ویژگی‌های بار الکتریکی امولسیون‌ها ندارند. پرابهارکار و همکاران گزارش کردند که افزایش غلظت سورفاکtant توبیین ۸۰ در نانومولسیون روغن در آب باعث افزایش بسیار اندکی در پتانسیل زتا می‌شود اما مقدار این تغییرات معنی‌دار نیست [۲۸].

۲.۳. اثر غلظت موسیلاژ دانه به (QSM) بر اندازه PDI و پتانسیل زتا ذرات

برای بررسی تأثیر غلظت QSM بر ویژگی‌های نانومولسیون دو غلظت مختلف ۱/۰٪ (نمونه‌های ۲، ۳ و ۴) و ۰/۵٪ (نمونه‌های ۵، ۶ و ۷) از موسیلاژ با نمونه فاقد موسیلاژ (نمونه ۱) مورد مقایسه قرار گرفت (شکل ۱). به‌طورکلی با توجه به شکل (۱) می‌توان گفت که افزایش غلظت موسیلاژ از ۰/۰٪ به ۰/۵٪ باعث افزایش اندازه ذرات می‌شود. همچنین در یک غلظت ثابت سورفاکtant (۱:۱)، افزودن موسیلاژ در غلظت ۱/۰٪ (نمونه ۲) نسبت به نمونه فاقد موسیلاژ (کنترل یا نمونه ۱)، اندازه ذرات را کاهش می‌دهد ($p < 0.05$). علت این کاهش را می‌توان مربوط به افزایش دافعه الکترواستاتیکی بین موسیلاژ و پروتئین دانست که ناشی از

قسمت نیز نشان داد که هرچند تیمار با حمام اولتراسونیک باعث کاهش اندازه ذرات در این حالت می‌شود و از $116/6\text{nm}$ تا 7 nm به $112/3\text{nm}$ در نمونه ۹ رسید اما این کاهش نسبت به غلظت‌های پایین‌تر سورفاکtant چندان قابل توجه نیست و از $162/2\text{nm}$ در نمونه ۵ به 121nm در نمونه ۸ رسید؛ بنابراین حمام اولتراسونیک در غلظت‌های کمتر سورفاکtant به خوبی توانایی کاهش اندازه ذرات را دارد.

برای مقایسه روش کم انرژی خودبُخودی و روش خودبُخودی تیمار شده با حمام اولتراسونیک با روش پر انرژی، بعد از تهیه امولسیون اولیه برای ریزتر شدن ذرات نمونه‌ها توسط هموژنایزر فracosot تیمار شدند (در بخش ۴-۲ روش تهیه امولسیون اولیه و نهایی توضیح داده شده است). نتایج نشان داد که در غلظت‌های بالای موسیلاز ($0/05\text{m}$) و نسبت پایین سورفاکtant ($1/1$)، اختلاف معنی‌داری بین اندازه ذرات دو روش خودبُخودی (نمونه ۵) و روش پر انرژی (نمونه ۱۰) وجود دارد. ولی با افزایش غلظت سورفاکtant ($2/1$) در همان غلظت موسیلاز ($0/05\text{m}$) اختلاف اندازه ذرات حاصل از دو روش کاهش یافت (مقایسه نمونه‌های ۷ و ۱۱ در شکل ۱). از طرف دیگر با مقایسه روش خودبُخودی تیمار شده با حمام اولتراسونیک با روش پر انرژی مشاهده شد که این روش در غلظت‌های پایین سورفاکtant اندازه ذرات کوچکتری حاصل می‌شود (مقایسه نمونه‌های ۸ و ۱۰) ولی در غلظت بالاتر سورفاکtant عکس این حالت مشاهده شد (مقایسه نمونه‌های ۹ و ۱۱) یعنی با افزایش سورفاکtant روش پر انرژی ذرات کوچکتری ایجاد می‌کند. تحقیقات آنچه‌پردا و همکاران [۳۴] بر روی نانومولسیون پایدار شده با سورفاکtant‌های توبین $80\text{ }\mu\text{m}$ و $HCO-60$ نشان داد که نمونه‌های تیمار شده با حمام اولتراسونیک دارای اندازه ذراتی کمتر از 30 nm بودند و افزایش زمان سونیکاسیون بیشتر از 30 min تأثیر چندانی در کاهش اندازه ذرات ندارد. نتایج مشابهی در استفاده از حمام اولتراسونیک در کاهش اندازه ذرات نانومولسیون روغن در آب حاوی اسانس سیر توسعه حسن‌زاده و همکاران نیز گزارش شده است [۳۵].

تیمار حمام اولتراسونیک و روش پر انرژی به مقدار بسیار اندکی پتانسیل زتا را افزایش دادند ولی این افزایش به لحاظ آماری معنی‌دار نبود ($0/05\text{p}$) (شکل ۲). دلیل این افزایش اندک شاید تأثیر امواج روی ساختار موسیلاز و باز شدن زنجیره‌ها و درنتیجه

با پروتئین سویا مشاهده نمودند که با افزایش غلظت تا $1/0\%$ به امولسیون اندازه ذرات کاهش ولی با افزایش بیشتر غلظت صمغ تا $5/0\%$ اندازه ذرات افزایش می‌یابد. آن‌ها علت این پدیده را برهم‌کنش‌های محدود بین صمغ و پروتئین دانستند [۳۱].

همان‌طور که در شکل (۲) نشان داده شده است، به طور کلی با افزودن موسیلاز به امولسیون‌ها و همچنین افزایش غلظت موسیلاز از $1/0\%$ به $5/0\%$ پتانسیل زتا نیز زیادتر شد ($p<0/05$). از آنجا که اکثر ترکیبات پلی‌ساقاریدی در دامنه وسیعی از pH دارای بار منفی هستند بنابراین دلیل این افزایش می‌تواند افزایش تعداد گروه‌های کربوکسیل موسیلاز است. تمام نمونه‌ها از نمونه شاهد پتانسیل زتا بیشتری داشتند، این بیشتر بودن پتانسیل زتا در نمونه‌های حاوی موسیلاز می‌تواند در پایداری آن‌ها نیز مؤثر باشد. محمد زاده و همکاران اثر مخلوط پروتئین آب پنیر تغییط شده و صمغ دانه مرو بر پایداری امولسیون را بررسی کرده و بیان کرده‌اند که در حضور $1/0\%$ صمغ، بار منفی ذرات امولسیون افزایش یافته که دلیل آن تجمع بار منفی بیشتر در امولسیون هست [۳۲]. همچنین علی‌پور و همکاران نیز گزارش کرده‌اند که در امولسیون پایدار شده با مخلوط صمغ قدومه شیرازی-پروتئین آب پنیر با افزایش نسبت صمغ اندازه ذرات و بار منفی سطح ذرات به دلیل بار منفی بیشتر صمغ و تجمع ذرات آن افزایش می‌یابد [۳۳].

۳.۲.۳ اثر تیمار اولتراسونیک بر اندازه PDI و پتانسیل زتا قطرات

هدف از انجام تیمار حمام اولتراسونیک بر روی نانومولسیون‌های خودبُخودی پیدا کردن روشی کمکی برای کاهش سورفاکtant مصرفی در این روش امولسیون‌سازی بود. نتایج این آزمایش نشان داد که با یک تیمار 30 min دقیقه‌ای توسعه حمام اولتراسونیک به خوبی می‌توان میزان سورفاکtant مصرفی را کاهش داد ($p<0/05$). برای مشاهده اثر این تیمار نمونه ۵ که دارای بزرگترین اندازه ذرات بود ($162/2\text{nm}$) تحت این تیمار قرار گرفت و مشاهده شد که اندازه ذرات به میزان قابل توجهی ($p<0/05$) کاهش یافت (نمونه ۸، 121nm). از طرف دیگر نمونه ۷ که دارای مقدار بیشتر سورفاکtant ($1/1$) و همان غلظت موسیلاز ($0/05\text{m}$) بود نیز مورد تیمار قرار گرفت تا اثر این تیمار برای غلظت‌های بالای سورفاکtant نیز مشاهده شود، نتایج این

همچنین در غلظت‌های بالای موسیلاژ با افزایش سورفاکtant ویسکوزیته نیز به شکل معنی‌داری زیاد شد. وانگ و همکاران و همچنین سلیمان‌پور و همکاران نتایج مشابهی در اثر افزودن صمغ‌های بذر کتان و قدومه شیرازی بر ویسکوزیته امولسیون‌های پایدار شده توسط پروتئین‌ها مشاهده کردند [۳۱، ۴۰]. آن‌ها دلیل این افزایش را حضور مقادیر زیاد مولکول‌های با وزن مولکولی بالا دانستند که در نهایت باعث افزایش مقاومت نسبت به جریان و ویسکوزیته امولسیون می‌شوند. به‌هرحال تمام نمونه‌ها در این آزمایش نسبت به نمونه شاهد (فاقد موسیلاژ) ویسکوزیته بالاتری داشتند.

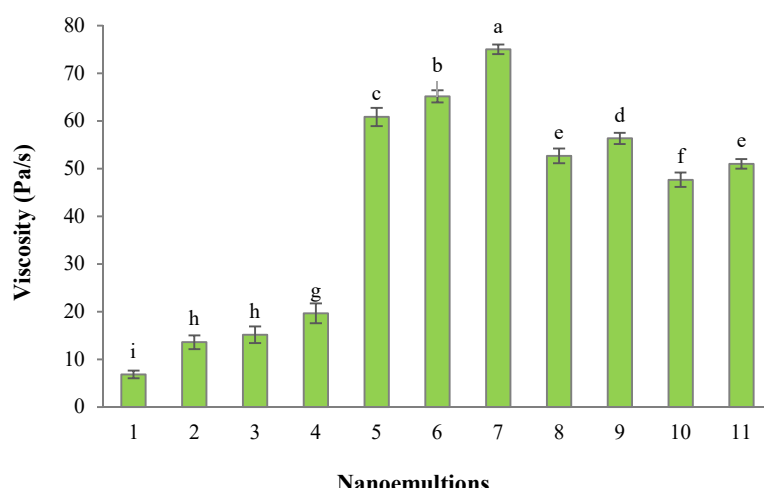
۵.۳. پایداری نانومولسیون‌ها

پایداری نانومولسیون‌ها توسط مشاهدات چشمی و اندازه‌گیری ارتفاع لایه سرم جداشده بررسی شد. نتایج حاصل از سنجش خامه‌ای شدن امولسیون در یک دوره زمانی یک ماهه در شکل (۴) نشان داده شده است. بررسی‌های چشمی نشان داد که بعد از گذشت یک روز از تولید، در هیچ یک از نمونه‌ها نشانه‌ای از خامه‌ای شدن مشاهده نشده اما با گذشت زمان پدیده دو فاز شدن در همه نمونه‌ها به‌جز نمونه ۱۱ اتفاق افتاد و بالاترین مقدار دو فاز شدن مربوط به امولسیون ۱ (فاقد موسیلاژ) و کمترین خامه‌ای شدن مربوط به نمونه‌های ۹، ۱۱ و ۸ بود که این سه نمونه اختلاف معنی‌داری با هم نداشتند ($p > 0.05$)؛ بنابراین موسیلاژ در

در دسترس قرار گرفتن گروه‌های کربوکسیل دارای بار منفی بیشتر است. ولی به‌هرحال تأثیر این دو روش چندان قابل توجه نبود.

۴.۳. ویسکوزیته

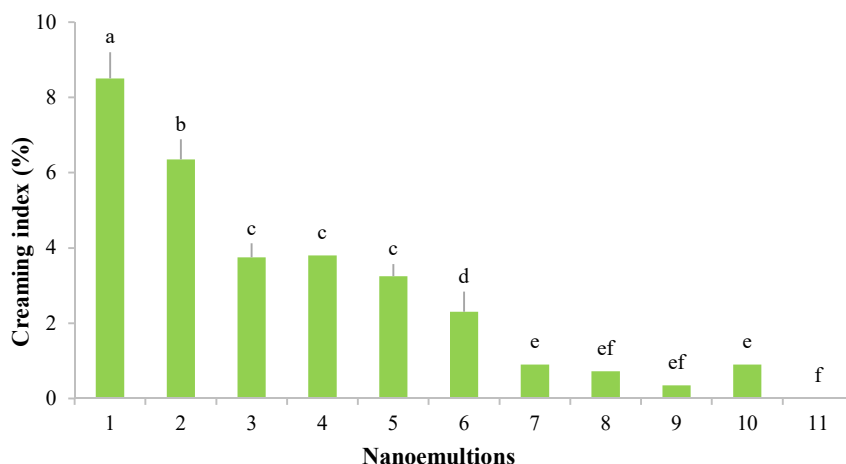
مقدار ویسکوزیته ظاهری امولسیون‌ها در شکل (۳) نشان داده شده است. افزایش غلظت موسیلاژ باعث افزایش معنی‌دار ($p < 0.05$) ویسکوزیته شد. این افزایش در غلظت‌های بالا (٪/۰.۵) بسیار قابل توجه بود که این نشان دهنده توانایی این موسیلاژ در غلظت‌های بالا در ایجاد حالت ویسکوز در محیط‌های آبی است. در اثر افزایش غلظت موسیلاژ درگیری بین مولکول‌ها افزایش می‌یابد که باعث می‌شود در اثر تنش برشی حرکات آزادانه اجزای مولکولی کاهش یابد [۳۶]. سایر محققان نیز نتایج مشابهی نیز در مورد ویسکوزیته امولسیون صمغ دانه مرو-پروتئین آب پنیر، صمغ بزرگ-پروتئین آب پنیر، صمغ عربی-پروتئین آب پنیر و صمغ زانتان-پروتئین آب پنیر گزارش کرده‌اند [۳۷-۳۹]. نکته جالب این بود که نمونه‌های حاصل از تیمار کمکی حمام اولتراسونیک و روش پر انرژی ویسکوزیته کمتری در مقایسه با روش کم انرژی خودبهخودی داشتند این دو تیمار فراصوت (حمام و پروب) باعث کاهش ویسکوزیته شدند که دلیل این امر احتمالاً به خاطر اثر امواج اولتراسونیک روی ساختار موسیلاژ و باز شدن ساختار آن‌ها و درنتیجه کاهش ویسکوزیته آن است.



شکل (۳) ویسکوزیته ظاهری امولسیون‌ها در دمای محیط

حرروف متفاوت نشان‌دهنده وجود اختلاف معنی‌دار در سطح $p < 0.05$ است

Fig. 3. Apparent viscosity of nanoemulsions at ambient temperature.
Different superscript letters among bars denote significant difference ($p < 0.05$)

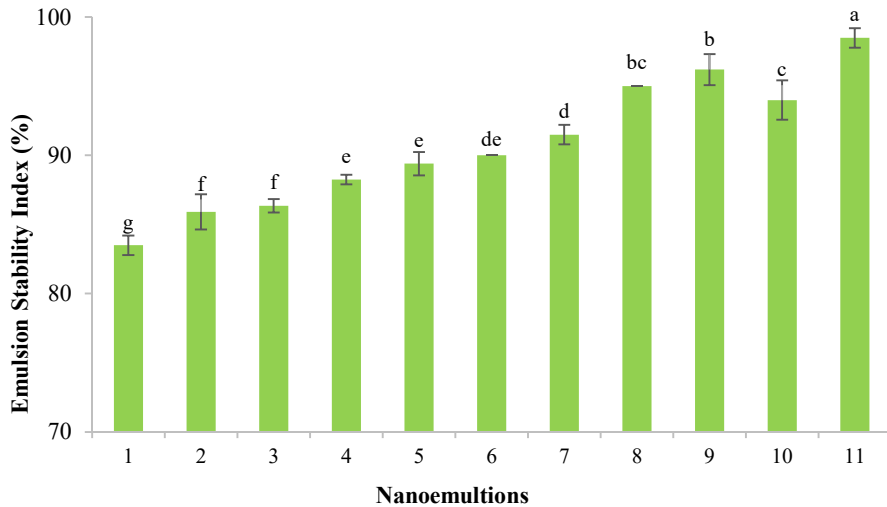


شکل (۴) شاخص خامه‌ای شدن نانومولسیون‌ها بعد از یک ماه نگهداری در دمای 5°C
حروف متفاوت نشان‌دهنده وجود اختلاف معنی‌دار در سطح $P<0.05$ است

Fig. 4. Creaming index of nanomulsions after one month storage at 5°C
Different superscript letters among bars denote significant difference ($P<0.05$)

موسیلاز دانه به از زنجیرهای خطی گلوکان، گالاكتو گلوکان /مانو گلوکان یا گالاكتو-مانو- گلوکان تشکیل شده است، این ساختار همچنین حدود ۱۰ تا ۲۵٪ پروتئین دارد که بیشتر اسید-آمینه‌های آن، گلوتامیک اسید، آسپارتیک اسید و آسپارژین هستند [۴۳]. دلیل بالاتر بودن میزان خامه‌ای شدن در امولسیون‌های حاوی غلظت کمتر موسیلاز را می‌توان با این فرض توجیه کرد که غلظت بیوپلیمرهای جذب شده در سطح قطرات روغن به اندازه کافی زیاد نیست تا کل سطح را اشباع کند، بنابراین ممکن است مولکول‌های بلند زنجیر موسیلاز دانه به با ایجاد یک پل بین چند قطره آن‌ها جذب هم کنند. این پدیده به عنوان فلوکولاسیون لخته شناخته شده که باعث ایجاد لخته‌های گسترده در غلظت‌های کم امولسیفایرها ضعیف می‌شود و می‌تواند باعث خامه‌ای شدن سریع تر نمونه‌های حاوی ۱۰٪ موسیلاز شود [۴۱]. سلیمان‌پور و همکاران نیز عنوان داشتند که غلظت‌های پایین صمغ قدومه شهری میزان خامه‌ای شدن امولسیون را به علت ایجاد اتصال بین قطرات روغن توسط صمغ و بروز پدیده فلوکولاسیون نقشانی افزایش می‌دهد در حالی که کاهش خامه‌ای شدن در غلظت‌های بالای صمغ به دلیل افزایش ویسکوزیته امولسیون و تشکیل شبکه در اثر افزودن صمغ دانه قدومه شهری است [۴۰].

غلظت‌های بالا می‌تواند باعث کاهش دو فاز شدن شود. نتایج مشابهی توسط خلوفی و همکاران [۳۸] برای امولسیون حاوی صمغ بزرک- ایزوله پروتئین آب پنیر گزارش شده است، آن‌ها دلیل کاهش خامه شدن با افزایش صمغ را افزایش ویسکوزیته ناشی از صمغ اعلام کرده‌اند. البته موسیلاز دانه به علاوه بر خواص غلظت‌کنندگی به علت داشتن ویژگی آمفیفیلیک قابلیت امولسیون‌کنندگی نیز دارد [۴۱]. از طرف دیگر با افزایش غلظت سورفاکtant برای هر دو غلظت ۱/۰ و ۰/۵٪ نیز شاهد کاهش دو فاز شدن نمونه بودیم که دلیل این کاهش می‌تواند ریزتر شدن اندازه ذرات روغن و افزایش دافعه الکتریکی بین آن‌ها باشد (شکل ۲) چراکه با افزایش غلظت صمغ مقدار بار منفی بیشتر شد. نمونه‌های که بعد تولید با حمام اولتراسونیک تیمار شده بودند نسبت به نمونه‌های تیمار نشده درصد خامه‌ای شدن کمتری داشتند اما در مقایسه با نمونه‌های که توسط روش پرانرژی تولید شده‌اند در غلظت سورفاکtant برابر تفاوت معنی‌داری نداشتند. نسبت فاز پراکنده به فاز پیوسته و غلظت و ماهیت موسیلاز موجود در فاز پیوسته از جمله عوامل مؤثر بر پایداری سامانه‌های امولسیونی هستند. به‌طورمعمول، پلی‌ساقاریدهای گیاهی به عنوان پایدارکننده‌های امولسیونی نوع روغن در آب شناخته می‌شوند. این زیست پلیمرها از طریق یک مکانیسم غیر جاذب و با کاهش حرکت قطرات روغن به پایداری امولسیون کمک می‌کنند [۴۲].



شکل (۵) شاخص پایداری نانومولسیون‌ها بالاگذاری بعد از تولید

حروف متفاوت نشان‌دهنده وجود اختلاف معنی‌دار در سطح $p < 0.05$ است

Fig. 5. Emulsion stability index of nanoemulsions immediately after production
Different superscript letters among bars denote significant difference ($p < 0.05$)

آن $14/5mV$ - بود. همچنین تیمار حمام اولتراسونیک و روش پر انرژی نیز شاخص پایداری بالاتری را نسبت روش خودبهخودی نشان دادند. مؤیدزاده و همکاران گزارش کردند که هر دو عامل SOR و غلظت صمغ روی پایداری امولسیون روغن ماهی در آب مؤثر هستند و اعلام کردند که با افزایش غلظت صمغ می‌توان در SOR پایینتر پایداری امولسیون را افزایش داد [۱۳]. آن‌ها همچنین اعلام کردند که ژلان جذب شده در سطح قطرات می‌تواند ویسکوزیته فاز آبی را افزایش دهد و باعث کاهش حرکت قطرات روغن و خامه‌ای شدن شود. اکبری و همکاران نیز نتایج مشابهی را برای صمغ دانه مرو-پروتئین آب پنیر روی پایداری امولسیون روغن در آب گزارش کردند [۳۹].

۴. نتیجه‌گیری

در این مطالعه، تأثیر سطوح مختلف موسیلاژ دانه به و سورفاکtant تویین ۸۰ در شکل‌گیری نانومولسیون خود به خودی مورد بررسی قرار گرفت. سپس تأثیر تیمار کمکی حمام اولتراسونیک را روی نانومولسیون‌های حاصله مورد آزمایش قرار گرفت و درنهایت با روش پر انرژی هموژنايزر فراصوت مقایسه شد. مشاهده شد که نانومولسیون‌ها با قطر کمتر از 200 nm را می‌توان با افزودن ساده فاز آبی که حاوی روغن و سورفاکtant است به فاز آبی در حین همزدن تهیه کرد که این روش به اسم

یکی از روش‌های رایج در تسريع الحاق ذرات چربی در امولسیون‌ها استفاده از سانتریفیوژ است؛ زیرا نیروی گریز از مرکز در این روش برخورد و الحاق ذرات چربی را تسريع می‌کند. نتایج شاخص پایداری امولسیون که از مقدار سرم جداسده از امولسیون توسط سانتریفیوژ به دست می‌آید در شکل (۵) نشان داده شده است. در اینجا با افزایش میزان غلظت موسیلاژ و سورفاکtant شاخص پایداری امولسیون نیز افزایش یافت. با افزایش غلظت موسیلاژ و تویین ۸۰ خاصیت امولسیون کنندگی افزایش می‌یابد، از طرف دیگر با افزایش غلظت موسیلاژ، ویسکوزیته سیستم نیز افزایش می‌یابد؛ بنابراین با توجه به اثر این دو عامل روی افزایش مقاومت در برابر جریان نانومولسیون‌ها حین سانتریفیوژ، کاهش سرعت جداسازی ذرات چربی و افزایش پایداری سینتیکی نانومولسیون اتفاق افتاد [۳۹]. یکی دیگر از عوامل مؤثر در پایداری امولسیون پتانسیل زتابی سیستم امولسیون است که هر چقدر مقدار آن از صفر دورتر باشد (مثبت یا منفی) به‌واسطه دافعه الکتریکی بین ذرات امولسیون پایدارتر است. در این مطالعه مقدار این پارامتر بین $10/6mV$ - $14/5mV$ تا $14/5mV$ - متغیر بود. البته چون مقدار پتانسیل زتابی زیاد نبود میزان تأثیر این پارامتر در پایداری نانومولسیون‌ها کمتر از تأثیر ویسکوزیته حاصل از موسیلاژ است. بیشترین پایداری مربوط به نمونه تهیه شده توسط روش پر انرژی با غلظت سورفاکtant ۲:۱ بود که پتانسیل زتابی

نشان داد که نانومولسیون‌های که دارای غلظت بالاتری از موسیلاژ بودند ویسکوزیته بالاتری داشتند که این ویسکوزیته بالاتر خود مهمترین عامل در پایداری نانومولسیون‌ها بود.

تشکر و قدردانی

نویسنده‌گان، صمیمانه از حمایت مالی صورت گرفته توسط صندوق حمایت از پژوهشگران جوان (Iran National Science Foundation: INSF) (No. 96011426/2018) تشکر می‌نمایند.

روش امولسیون‌سازی خودبُخودی شناخته شده است. اندازه قطرات در این روش بستگی به نسبت سورفاکtant به روغن و غلظت موسیلاژ داشت. تیمار کمکی بعد از تهیه نانومولسیون خودبُخودی تأثیر معنی‌داری روی کاهش اندازه ذرات داشت و نشان داد که با این روش می‌توان مصرف سورفاکtant غیر یونی تویین ۸۰ را کاهش داد؛ چراکه مهمترین عامل در محدودیت روش خودبُخودی مقدار بالای سورفاکtant سنتزی است که در بسیاری از مواد غذایی می‌تواند ناخوشایند باشد. همچنین نتایج

منابع

- 157.
- [10] Roohinejad, S., et al., (2018). Emulsion-based Systems for Delivery of Food Active Compounds: Formation, Application, Health and Safety. Wiley Online Library.
- [11] Noroozi, M., Radiman, S., Zakaria, A., (2014). Influence of sonication on the stability and thermal properties of Al₂O₃ nanofluids. *J. Nanomaterials*. Article ID 612417, 2014, 10 pages.
- [12] Solans, C., Solé, I., (2012). Nano-emulsions: formation by low-energy methods. *Curr. Opin. Colloid Interface Sci.* 17(5), 246-254.
- [13] Moayedzadeh, S., Khosrowshahi asl, A., Gunasekaran, S., Madadlou, A., (2018). Spontaneous emulsification of fish oil at a substantially low surfactant-to-oil ratio: Emulsion characterization and filled hydrogel formation. *Food Hydrocolloid.* 82, 11-18.
- [14] Saberi, A.H., Fang, Y., McClements, D.J., (2013). Fabrication of vitamin E-enriched nanoemulsions: factors affecting particle size using spontaneous emulsification. *J. Colloid Interface Sci.* 391, 95-102.
- [15] Anton, N., Benoit, J.-P., Saulnier, P., (2008). Design and production of nanoparticles formulated from nano-emulsion templates—a review. *J. Contr. Release.* 128(3), 185-199.
- [16] Najafi-Taher, R., Amani, A., (2017). Nanoemulsions: colloidal topical delivery systems for antiacne agents-A Mini-Review. *Nanomedicine Res.* J. 2(1), 49-56.
- [17] Pezeshky, A., Ghanbarzadeh, B., Hamishehkar, H., Moghadam, M., Fathollahi, I., (2016). Vitamin A palmitate-loaded nanoemulsions produced by spontaneous emulsification method: effect of surfactant
- [1] Komaiko, J., McClements, D.J., (2015). Low-energy formation of edible nanoemulsions by spontaneous emulsification: Factors influencing particle size. *J. Food Eng.* 146, 122-128.
- [2] McClements, D.J., Rao, J., (2011). Food-grade nanoemulsions: formulation, fabrication, properties, performance, biological fate, and potential toxicity. *Crit. Rev. Food Sci. Nutr.* 51(4), 285-330.
- [3] Velikov, K.P., Pelan, E., (2008). Colloidal delivery systems for micronutrients and nutraceuticals. *Soft Matter.* 4(10), 1964-1980.
- [4] Wooster, T.J., Golding, M., Sanguansri, P., (2008). Impact of oil type on nanoemulsion formation and Ostwald ripening stability. *Langmuir.* 24(22), 12758-12765.
- [5] Mason, T., Wilking, J., Meleson, K., Chang, C., Graves, S., (2006). Nanoemulsions: formation, structure, and physical properties. *J. Phy. condens. matter.* 18(41), 635–666.
- [6] Komaiko, J., McClements, D.J., (2014). Optimization of isothermal low-energy nanoemulsion formation: hydrocarbon oil, non-ionic surfactant, and water systems. *J. Colloid. Interface Sci.* 425, 59-66.
- [7] Jafari, S.M., He, Y., Bhandari, B., (2007). Production of sub-micron emulsions by ultrasound and microfluidization techniques. *J. Food Eng.* 82(4), 478-488.
- [8] Tadros, T., Izquierdo, P., Esquena, J., Solans, C., (2004). Formation and stability of nano-emulsions. *Advances in Colloid. Interface Sci.* 108, 303-318.
- [9] Abbas, S., Hayat, K., Karangwa, E., Bashari, M., Zhang, X., (2013). An overview of ultrasound-assisted food-grade nanoemulsions. *Food Eng. Rev.* 5(3), 139-

- [30] Xu, D., Wang, X., Jiang, J., Yuan, F., Gao, Y., (2012). Impact of whey protein–Beet pectin conjugation on the physicochemical stability of β -carotene emulsions. *Food Hydrocolloid.* 28(2), 258-266.
- [31] Wang, Y., Li, D., Wang, L.-J., Adhikari, B., (2011). The effect of addition of flaxseed gum on the emulsion properties of soybean protein isolate (SPI). *J. Food Eng.* 104(1), 56-62.
- [32] Mohammadzadeh ,H., Koocheki, A., Kadkhodaee, R., Razavi, S.M., (2013). Physical and flow properties of d-limonene-in-water emulsions stabilized with whey protein concentrate and wild sage (*Salvia macrosiphon*) seed gum. *Food Res. Int.* 53(1), 312-318.
- [33] Alipour, A., Koocheki, A., Kadkhodaee, R., Varidi, M., (2015). The effect of alyssum homolocarpum seed gum-whey protein concentrate on stability of oil-in-water emulsion. *Food Sci. Tech.* 12(48), 163-174
- [34] Anuchapreeda, S., Fukumori, Y., Okonogi, S., Ichikawa, H., (2012). Preparation of lipid nanoemulsions incorporating curcumin for cancer therapy. *J. nanotechnology.* Article ID 270383, 2012, 11 pages.
- [35] Hassanzadeh, H., Alizadeh, M., Bari, M.R., (2018). Formulation of garlic oil-in-water nanoemulsion: antimicrobial and physicochemical aspects. *IET Nanobiotechnology.* 12(5), 647-652.
- [36] Maskan, M., Göğüş, F., (2000). Effect of sugar on the rheological properties of sunflower oil–water emulsions. *J. Food Eng.* 43(3), 173-177.
- [37] Khalloufi, S., Alexander, M., Goff, H.D., Corredig, M., (2008). Physicochemical properties of whey protein isolate stabilized oil-in-water emulsions when mixed with flaxseed gum at neutral pH. *Food Res. Int.* 41(10), 964-972.
- [38] Khalloufi, S., Corredig, M., Goff, H.D., Alexander, M., (2009). Flaxseed gums and their adsorption on whey protein-stabilized oil-in-water emulsions. *Food Hydrocolloid.* 23(3), 611-618.
- [39] Akbari, E., Ghorbani, M., Sadeghi Mahonak, A., Alami, M., Kashaninejad, M., Nasrollahzadeh, A., (2016). Investigation of sage seed gum and whey- protein on the stability of the Oil-water emulsion with using response surface methodology (RSM). *Innovat Food Sci. Emerg. Tech.* 3(4), 47-56.
- [40] Soleimanpoor, M., Kadkhodaee, R., Koocheki, A., Razavi, S., (2013). Effect of qodumeh shahri seed gum on physical properties of corn-oil in water emulsion prepared by high intensity ultrasound. *Iranian Food Sci. Tech. Res. J.* 9(1), 21-30.
- [41] Kirtil, E., Oztop, M.H., (2016). Characterization of emulsion stabilization properties of quince seed extract and oil on droplet size and stability. *J. Res. Innovat. Food Sci. Tech.* 4(4), 299-314.
- [18] Jouki, M., et al., (2014). Optimization of extraction, antioxidant activity and functional properties of quince seed mucilage by RSM. *Int. J. Biolo. Macro.* 66, 113-124.
- [19] Ghadermazi, R., Khosrowshahi-Asl, A., Tamjidi, F., (2019).Optimization of whey protein isolate-quince seed mucilage complex coacervation. *Int. J. Biolo. Macro.* 131, 368–377.
- [20] Khalesi, H., Emadzadeh, B., Kadkhodaee, R., Fang, Y., (2016). Whey protein isolate-Persian gum interaction at neutral pH. *Food Hydrocolloid.* 59, 45-49.
- [21] Ozturk, B., et al., (2015). Formation and stabilization of nanoemulsion-based vitamin E delivery systems using natural biopolymers: Whey protein isolate and gum arabic. *Food Chem.* 188, 256-263.
- [22] Shamsara, O., et al., (2015). Effect of ultrasonication, pH and heating on stability of apricot gum–lactoglobuline two layer nanoemulsions. *Int. J. Biolo. Macro.* 81, 1019-1025.
- [23] Kaltsa, O., et al., (2013). Ultrasonic energy input influence on the production of sub-micron o/w emulsions containing whey protein and common stabilizers. *Ultrasonics sonochem.* 20(3), 881-891.
- [24] Abbastabar, B., Azizi, M.H., Adnani, A., Abbasi, S., (2015). Determining and modeling rheological characteristics of quince seed gum. *Food Hydrocolloid.* 43, 259-264.
- [25] Zhang, R., Zhang, Z., Kumosani, T ,Khoja, S., Abualnaja, K.O., McClements, D.J., (2016). Encapsulation of β -carotene in nanoemulsion-based delivery systems formed by spontaneous emulsification: influence of lipid composition on stability and bioaccessibility. *Food biophys.* 11(2), 154-16.¶
- [26] McClements, D.J., (2011). Edible nanoemulsions: fabrication, properties, and functional performance. *Soft Matter.* 7(6), 2297-2316.
- [27] Anton, N., Vandamme, T.F., (2009). The universality of low-energy nano-emulsification. *Int. J. Pharm.* 377(1-2), 142-147.
- [28] Prabhakar, K., Afzal, S.M., Surender, G., Kishan, V., (2013). Tween 80 containing lipid nanoemulsions for delivery of indinavir to brain. *Acta Pharm. Sin. B.* 3(5), 345-353.
- [29] Dickinson, E., (2009). Hydrocolloid as emulsifiers and emulsion stabilizers. *Food Hydrocolloid.* 23(6), 1473-1482.



as a new source of hydrocolloid. *Food Res. Int.*. 85, 84-94.

[42] Dickinson, E., Stainsby, G., (1988). Advances in food emulsions and foams Edited by E. Dickinson and G. Stainsby, Elsevier Applied Science, London, 344-385.

[43] Ritzoulis, C., Marini, E., Aslanidou, A., Georgiadis, N., Karayannakidis, P.D., Koukiotis, C., Filotheou, A., Lousinian, S., Tzimpilis, E., (2014). Hydrocolloid from quince seed: Extraction, characterization, and study of their emulsifying/stabilizing capacity. *Food Hydrocolloid*. 42, 178-186.

*Research Article***Effect of Ultrasonic Bath, Surfactant to Oil Ratio and Quince Seed Mucilage Concentration on Spontaneous Nanoemulsion Properties**

Reza Ghadermazi^{1*}, Asghar Khosrow Shahi Asl², Mohammad Hossein Azizi³, Fardin Tamjidi⁴

1. Ph.D. Student, Food Science and Technology, Department of Food Science and Technology, Faculty of Agriculture, Urmia University, Urmia, Iran.
2. Professor, Department of Food Science and Technology, Faculty of Agriculture, Urmia University, Urmia, Iran.
3. Professor, Department of Food Science and Technology, Faculty of Agriculture, Tarbiat Modares University, Tehran, Iran.
4. Assistant Professor, Department of Food Science and Engineering, Faculty of Agriculture, University of Kurdistan, Sanandaj, Iran.

Abstract

The aim of this study was to investigate the properties of oil in water nanomulsion stabilized with whey protein isolate (1% w/v) and quince seed mucilage (0.1 and 0.5% w/v) by low energy method of spontaneous emulsification and high energy method of ultrasound homogenizer. Since the main problem in utilization of spontaneous emulsification method is the use of high amounts of synthetic surfactants, one of the objectives of this study was to investigate the effect of different ratios of surfactant to oil (SOR= 1:1, 2:1 and 3:2) and ultrasonic bath supplementation on spontaneous nanomulsion properties. Nanoemulsion characteristics such as particle size, zeta potential, viscosity and stability of nanomulsion were studied. In this study, nanoemulsions with a particle size less than 200 nm were well prepared. Increasing the mucilage concentration and the surfactant to oil ratio resulted in a significant reduction in particle size, a slight increase in zeta potential (increase in negativity), increased viscosity, decreased creaming index and increased emulsions stability index. The nanoemulsions from the high energy method and the nanoemulsions treated with ultrasonic bath have the lowest particle size, creaming index and highest emulsions stability index. The results of this study showed that by a simple treatment with an ultrasonic bath, it was possible to create spontaneous nanoemulsions with very small particle size (with nm dimensions) without using high concentrations of synthetic surfactants.

Keywords: Spontaneous Nanoemulsion, Ultrasonic Bath, Quince Seed Mucilage, Whey Protein Isolated.

* Corresponding author: r.ghadermazi@urmia.ac.ir